

# تئیه منحنیهای طراحی اسکله‌های سپر فولادی

دستورالعملی برای تئیه منحنیهای طراحی اسکله‌های سپر فولادی در شرایط جوی و هیدرولیکی بندر سوزا و فرض دو نوع اصلی مصالح بستر، اسکله‌هایی از نوع سپر فولادی برای شرایط مختلف بارگذاری و انواع گشته طرح، محاسبه شده است: سپس منحنیهای طراحی که می‌توان به کمک آنها بر حسب میران آبخور گشتی، طول سپر، حد اکثر لغک در سپر و سطح مقطع میل مهار را به دست آورد تهیه و ارائه شده است.

خطایلات انجام شده نشان می‌دهد که «اولاً»، اسپرهای فولادی را نمی‌توان در خاکهای چسبنده نرم به کار برد. تأثیر کاهش طول سپر در اثر افزایش زاویه اصطکاک داخلی خاک بیش از تأثیر افزایش چسبندگی می‌باشد، به طوری که در شرایط بارگذاری یکسان، در اثر افزایش هر ۵ درجه به زاویه اصطکاک داخلی لینگر ماکریم سپر بین ۳۶٪ تا ۴۶٪ از سطح مقطع میل مهار ۲۵ تا ۳۵٪ کاسته می‌شود.

## Design Charts for Piers on Sheet Piles

Ali Khodaii,

Assist. Professor of Civil

Eng. Dept. Amirkabir Univ. of Tech.

### ABSTRACT:

Fundamental role of transportation in general and sea transportation in particular, and possibility of using vast resources of protein available at southern ports of our country, highlights the potential importance of on shore construction such as ports and piers.

To obtain preliminary design charts for initial comparison of different method of construction, a number of piers on sheet piles were designed. For the purpose of this design, soil mechanic and environmental conditions of Soza port was assumed to be prevailing. Based on length of emerged piles and weight category of the boats, length, maximum bending moment of sheet piles and the cross section of anchor bolts were calculated. To obtain more general design charts, effect of soil bed condition and cross section of sheet piles were also considered. These charts may be used for initial comparison of different types of piers.

دستورالعملی برای تئیه منحنیهای طراحی اسکله‌های سپر فولادی در شرایط جوی و هیدرولیکی بندر سوزا و فرض دو نوع اصلی مصالح بستر، اسکله‌هایی از نوع سپر فولادی برای شرایط مختلف بارگذاری و انواع گشته طرح، محاسبه شده است: سپس منحنیهای طراحی که می‌توان به کمک آنها بر حسب میران آبخور گشتی، طول سپر، حد اکثر لغک در سپر و سطح مقطع میل مهار را به دست آورد تهیه و ارائه شده است.

خطایلات انجام شده نشان می‌دهد که «اولاً»، اسپرهای فولادی را نمی‌توان در خاکهای چسبنده نرم به کار برد. تأثیر کاهش طول سپر در اثر افزایش زاویه اصطکاک داخلی خاک بیش از تأثیر افزایش چسبندگی می‌باشد، به طوری که در شرایط بارگذاری یکسان، در اثر افزایش هر ۵ درجه به زاویه اصطکاک داخلی لینگر ماکریم سپر بین ۳۶٪ تا ۴۶٪ از سطح مقطع میل مهار ۲۵ تا ۳۵٪ کاسته می‌شود.

در پائین تراز حد MLLW قرار دارد، از آبخور کافی پرخور دار نیست و کشی طرح در این روزها تنها در وضعیت مدد می‌تواند وارد محوطه بندرگاه شده و در کنار اسکله پهلو بگیرد. از آنجا که تعداد روزهایی که آب به پائین ترین حد جزر MLLW می‌رسد، زیاد نیست و علاوه بر این در این موارد نیز لنجهای و کشتیهای کوچکتر می‌توانند به آسانی از محوطه بندرگاه و اسکله استفاده نمایند، لذا این فرض موجب کم شدن ارتفاع اسکله و کاهش هزینه پروژه خواهد شد.

به منظور امکان بررسی تاثیر نوع خاک در اینگونه اسکله‌ها جنس خاک بستر دریا در شش حالت مختلف زیر در نظر گرفته شده است:

خاک دانه‌ای سست (Loose) با زاویه اصطکاک داخلی حداقل  $\phi = 25$  درجه

خاک دانه‌ای متوسط (Medium) با زاویه اصطکاک داخلی حداقل  $\phi = 30$  درجه

خاک دانه‌ای متراکم (Dense) با زاویه اصطکاک داخلی حداقل  $\phi = 35$  درجه

خاک چسبنده شل (Soft) با حداقل چسبندگی  $C = 2/5 \text{ T/m}^3$

خاک متوسط (Medium) با حداقل چسبندگی  $C = 5 \text{ T/m}^3$

خاک سفت (Stiff) با حداقل چسبندگی  $C = 10 \text{ T/m}^3$

حالات ترکیبی و یا خاک غیر پکتواخت در بررسیهای انجام شده در نظر گرفته نشده‌اند. نظری تسهیلات تخلیه و بارگیری جرثقیل بر روی اسکله‌های کوچک نصب نمی‌گردد، لذا بار زنده بر روی اسکله در دو حالت با بار گستره ۱/۵ و ۳ تن بر مترمربع فرض شده است.

طرح جامع بنادر ایران [۱] برای بنادر کوچک خلیج فارس، حداقل ارتفاع اسکله را یک متر بالاتر از MHHW توصیه نموده است. براساس استاندارد دریایی ژاپن [۲] حداقل ارتفاع اسکله‌های کوچک را می‌توان ۰/۵ متر بالاتر از HHW در نظر گرفت.

آمار نشان می‌دهد [۱] اختلاف ارتفاع بین متوسط جزو و

امیرکبیر / سال هفتم / شماره ۲۷

اسکله‌های از نوع سپر فولادی برای شرایط مختلف بارگذاری و انواع کشش طرح، محاسبه شده است. سپس متحببیهای طراحی که می‌توان به کمک آنها بر حسب میزان آبخور کششی، طول سپر، حداکثر لنگر در سپر و سطح مقطع میل مهار را بدست آورد تبیه و ارائه شده است. در مقایسه نتایج حاصله تاثیر جنس خاک بستر بر طول و سطح مقطع سپر و میل مهار نیز بررسی شده و نتایج استنتاج شده ارائه گردیده است.

## ۲- مبانی بررسیهای انجام شده

باتوجه به اینکه ساخت اسکله‌ها و بنادر کوچک، یکی از نیازهای اجتماعی- اقتصادی کشور ماست لذا در بررسیهای انجام شده طراحی اسکله‌های با آبخور کم تا متوسط که قابلیت پهلودهی لنجهای کشتیهای کوچک را داشته باشد مورد توجه قرار گرفت. در این راستا دو نوع لنجه ۶۰ و ۲۰ تنی و دو نوع کششی ۱۰۰۰ و ۲۵۰۰ تنی به عنوان کشش طرح برای آنالیز و طراحی در نظر گرفته شد. آب نشین این کشتیها به ترتیب ۲/۵، ۳/۵ و ۵ متر در نظر گرفته شده است.

از آنجا که کشتیهای کوچک امکان پهلوگیری در کنار اسکله را در آب آزاد ندارند (زیرا امواج با ارتفاع نسبتاً کم نیز مانع انجام عملیات تخلیه و بارگیری این قبیل کشتیها می‌شود)، لذا فرض شده است که این اسکله‌ها در پناه موج شکن و یا در داخل خورهای طبیعی که سطح آب آنها آرام است قرار دارند.

متوسط جذر و مد (حد فاصل MHHW و MLLW) در اینجا ۲/۵ متر در نظر گرفته شده است (در سواحل خلیج فارس و دریای عمان این مقدار ۲ تا ۳ متر است). باتوجه به اینکه غالب بنادری که برای سرویس دهنده شناورهای ۶۰ تا ۲۵۰۰ تنی طراحی می‌شوند؛ بنادر صیادی و کوچک هستند، لذا آبخور پای اسکله برای کشتیهای فوق الذکر در MLLW، ۲/۵، ۳/۵ و ۵ متر در نظر گرفته شده است. به عبارت دیگر فرض بر این است که اسکله در روزهایی که آب

### ۱-۳-بارگذاری

بار زنده روی سطح اسکله در دو حالت ۱/۵ و ۳ تن بر مترمربع در نظر گرفته شده است. اثر ضربه کشته بر حسب تناژ کشته طرح به شرح زیر محاسبه شده اند:

Keshi Ton	F Ton
۶۰	۱۰
۲۰۰	۱۰
۱۰۰۰	۱۰
۲۵۰۰	۱۲

نیروی زلزله در اسکله های سپرکوبی به شکل از دیاد فشار خاک اکتیو و پاسیو بر روی سپر در نظر گرفته می شود. مساله تغییرات فشار خاک در اثر زلزله هنوز به طور کامل حل نشده و امروزه بیشتر از تئوری اوکابه - مونونوبه [۳] جهت بررسی این مساله استفاده می کنند. تئوری این دو نیز بر مبنای تئوری فشار خاک کولمب است که اصلاحاتی با توجه به شتاب زلزله روی آن به عمل آمده است. با توجه به اینکه در هنگام زلزله، تنشهای مجاز محاسبات رامی توان ۳۳ درصد افزایش داد، لذا اثر زلزله در اسکله های سپرکوبی در نظر گرفته نشده است.

### ۲-۳-اسکله های سپری در خاک چسبنده

برای خاک دانه ای پشت سپر مشخصات زیر در نظر گرفته می شود:

$$\phi = ۳۰^\circ, K_p = ۰/۳۳۳, K_a = ۰/۰۳۳۳ \longrightarrow \text{درجه} = ۳۰^\circ$$

$$\gamma' = ۱ T/m^3, \gamma_{sat} = ۲ T/m^3, \gamma = ۱/۸ T/m^3 \text{ مرطوب}$$

از اصطکاک بین دیوار فلزی و خاک صرف نظر شده است

( $\delta = ۰^\circ$ ) این فرض در جهت اطمینان بیشتر است، معندا فرض  $\phi = \frac{\pi}{3} = ۶۰^\circ$  نیز متدائل است. با توجه به رفتار خزشی خاک رس و امکان جداسدن آن از دیوار، چسبنده خاک و دیوار (adhesion) در محاسبات منظور نشده است.

همانطور که گفته شد برای تحلیل دیوار در خاک چسبنده از روش انتهای آزاد استفاده شده است، یعنی انتهای دیوار

متوسط مد در سواحل خلیج فارس و دریای عمان بین ۲ تا ۳ متر است، لذا در این مطالعات تغییرات سطح آب، مابین متوسط جزر و متوسط مد ۲/۵ متر در نظر گرفته شده و سطح عرشه اسکله یک متر بالاتر از MHHW فرض شده است. بنابراین ارتفاع اسکله در هر حالت برابر است با آب نشین کشته طرح باضافه ۳/۵ متر.

با شش نوع خاک بستر دو اندازه بار زنده و چهار اندازه آبخور، مجموعاً ۴۸ اسکله مورد طراحی قرار گرفته و نتایج آنها با یکدیگر مقایسه شده است.

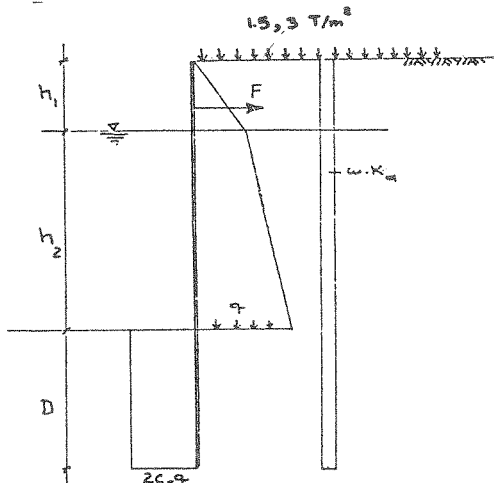
### ۳-تحلیل اسکله های سپر فولادی

طول و عرض اسکله ها به ترتیب ۱۲۰ و ۱۲ متر، ارتفاع اسکله ها نیز ۶، ۷، ۸/۵ و ۹/۵ متر در نظر گرفته شده است، که متناظر با آبخور ۲/۵، ۳/۵، ۵ و ۸ متر می باشد.

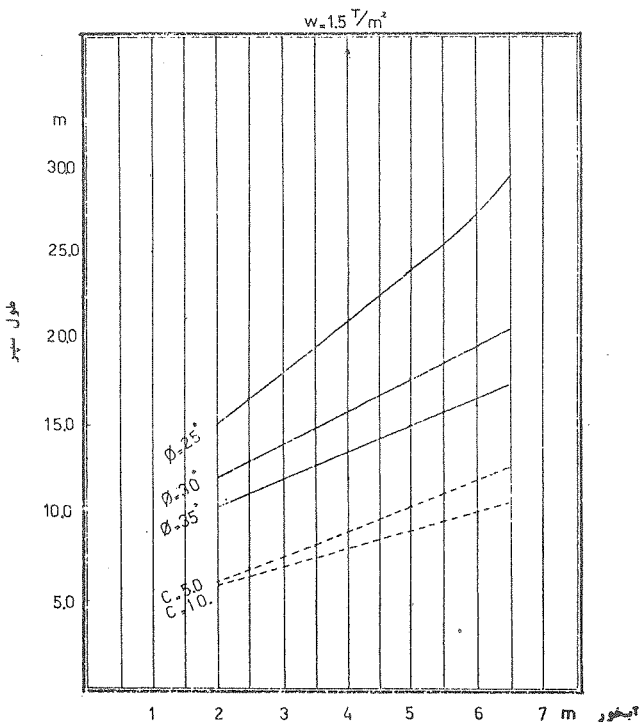
سپرهای به وسیله یک سری مهار به بلوکهای بتونی مهار می شوند، زیرا کاربرد سپرهای طره ای در سازه های دریایی معمول نیست. پای سپر در خاک دانه ای گیردار فرض شده و مساله هیپر استاتیک به کمک فرضیات بلوم (Blum) در هر حالت حل شده است. در مورد خاکهای چسبنده در نظر گرفتن پای گیردار مجاز نیست (مگر در حالت رس سخت یا سفت) [۲]، لذا برای تحلیل سپرهای در خاک چسبنده از روش انتهای آزاد استفاده شده است که نتایج آن در جهت اطمینان است.

عکس العمل افقی خاک بستر دریا در خاک چسبنده در عمق، ثابت و درخاک دانه ای در عمق خطی در نظر گرفته شده است. فرض بر این است که پشت سپرهای در خاک چسبنده برای ایجاد زهکشی کافی از خاک دانه ای (مخلوط درشت دانه رودخانه ای) انباسته شده است. در تیجه تراز آب باقیمانده در پشت سپر اختلاف زیادی با سطح آب دریا نداشته و اضافه تنشی از بابت اختلاف سطح آب در دو طرف سپر در محاسبات منظور نشده است.

طول آن در  $1/2$  تا  $1/5$  و دیگری تقسیم پارامترهای مقاومنی خاک مثل  $C$  و  $K_p$  بر عدد  $2$ . در اینجا از روش اول استفاده شده و در تمامی حالت عمق مدفون سپر  $D$  در ضریب اطمینان  $1/4$  ضرب شده است. طول سپر در  $\Delta$  نوع خاک چسبنده و بارزنده  $1/5 \text{ T/m}^2$  در شکل (۲) و برای بارزنده  $3 \text{ T/m}^2$  در شکل (۳) نشان داده شده است.



شکل (۱) سپر فلزی در خاک چسبنده



شکل (۲) طول لازم سپر فولادی در خاکهای دانه‌ای و چسبنده  
 $1/5 \text{ T/m}^2$  = بارزنده

نمی‌تواند تغییر مکان دهد ولی دوران آن آزاد است. محل اتصال مهار به سپر می‌تواند در بالای سپر قرار داشته باشد، ولی بهتر است که مهار در عمق خاک قرار گیرد. این کار دو مزیت دارد اول آنکه لنگر خمی در سپر فولادی کمتر شده و مدول مقطع کوچکتر مورد نیاز خواهد بود. طرح اقتصادی تر می‌شود. دوم آنکه قراردادن بلوك بتونی در عمق موجب بسیج فشار پاسیو خاک شده و مهارکردن سپر را آسان خواهد کرد. از طرف دیگر نصب مهار در پایین تو از سطح آب مشکلات اجرایی به همراه دارد، لذا ابتدا چهار نوع مهار با چهار آبخور به صورت دستی حل گردید و محلهای مناسبتر مهار بررسی گردید. نتیجتاً محل سپر برای آبخور  $2/5, 3/5, 4/5, 5/5$  و  $6$  متر به ترتیب  $1/5, 2/5, 1/5, 2/5, 1/5$  و  $3$  متر از سطح عرضه در نظر گرفته شد. برای تعیین عمق سپر در خاک ابتدا معادله تعادل لنگرها حول نقطه اثر مهار نوشته می‌شود.

$$\begin{aligned} & \frac{\gamma h_1^2 k_a}{2} \left( \frac{2h_1}{3} - y \right) + \gamma h_1 k_a h_2 \left( \frac{h_2}{2} + h_1 - y \right) + \\ & \frac{\gamma' h_2^2 k'_a}{2} \left( \frac{2h_2}{3} + h_1 - y \right) \\ & - (2c-q) D \left( \frac{D}{2} + h_2 + h_1 - y \right) = 0 \end{aligned}$$

با تعیین  $D$  از این معادله و نوشتن تعادل نیروها در جهت افقی می‌توان نیروی مهار را بدست آورد.

$$F = \frac{\gamma h_1^2 k_a}{2} + \gamma \cdot h_1 \cdot k_a \cdot h_2 + \gamma' \cdot h_2^2 \cdot k'_{a/2} - (2c-q) \frac{D}{2} + w k_a (h_1 + h_2) + (w-2c) D$$

محل برش صفر (لنگر ماکریم) از این معادله بدست می‌آید:

$$F - \gamma h_1^2 k_{a/2} - w \cdot k_a \cdot h_1 - \gamma h_1 k_a \cdot h_1 - \gamma' x^2 k'_{a/2} - w k'_{a/2} \cdot x = 0$$

با تعیین محل برش صفر می‌توان لنگر خمی را جهت طراحی مقطع سپر از معادله زیر بدست آورد:

$$M = \frac{\gamma h_1^2 k_a}{2} \left( x + \frac{h_1}{3} \right) + \gamma h_1 k_a \frac{x^2}{2} + \gamma' x^3 k'_{a/6} + w k_a (h_1 + x^2)/2 - F(x + h_1 - y)$$

برای اعمال ضریب اطمینان در تعیین عمق کلی سپر دو روش امکان‌پذیر است. اول ازدیاد طول مدفون سپر با ضرب

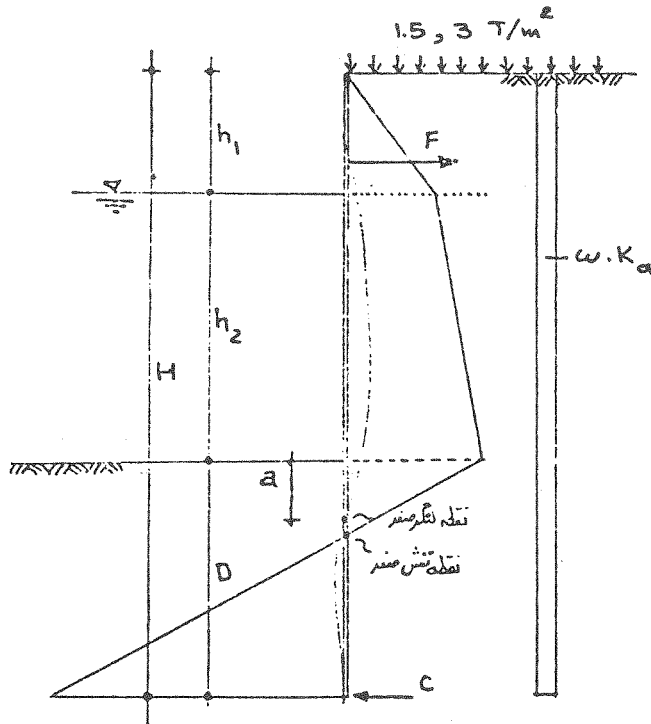
شدید  $K_p$  می‌گردد و با توجه به اینکه فشار پاسیو خاک عامل پایداری دیوار است، هرگونه افزایش در ضرب  $K_p$  باید با اطمینان کافی از وجود اصطکاک بین خاک و دیوار همراه باشد. تغییرات  $\delta$  تاثیر شدیدی روی مقدار  $K_a$  ندارد.

از آنجا که در روش انتهای گیردار، سیستم نامعین است برای تعیین محل لنگر صفر و تبدیل آن به تیر ساده از فرضیات بلوم به شرح زیر استفاده شده است:

$$\phi = 25 \rightarrow a = 0.16(h_1 + h_2) \text{ درجه}$$

$$\phi = 30 \rightarrow a = 0.18(h_1 + h_2) \text{ درجه}$$

$$\phi = 35 \rightarrow a = 0.20(h_1 + h_2) \text{ درجه}$$

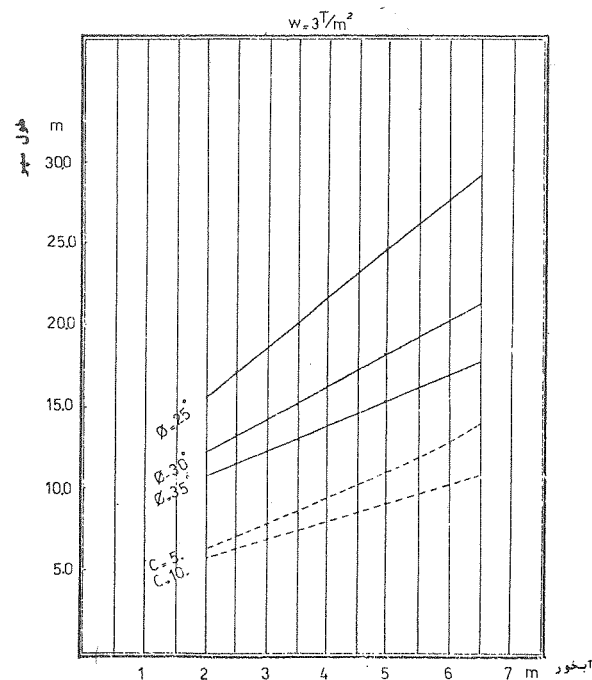


شکل (۴) سپر فلزی در خاک دانه‌ای

با داشتن  $a$  می‌توان ابتدا نیروی کشش مهار  $F$  را محاسبه نمود.

$$F = [\frac{\gamma h_1^2 k_a}{2} (\frac{h_1}{3} + h_2 + a) + \gamma h_1 k_a (\frac{h_2}{2} + a) h_2 + \frac{\gamma'}{2} h_2^2 k'_a (\frac{h_2}{3} + a) + \frac{x-a}{x} (\gamma h_1 k_a + \gamma' h_2 k'_a) \cdot \frac{a^2}{6} + (\gamma h_1 k_a + \gamma' h_2 k'_a) \frac{a^2}{3} + w(h_1 + h_2 + a)^2 k_{a/2}] / Y$$

حال برای حل تیر تحتانی باید  $T$  را محاسبه نمود.



شکل (۳) طول لازم سپر فولادی در خاکهای دانه‌ای چسبنده  
 $w = 3 \text{ T/m}^2$  بارز نده

نتایج حاصل از محاسبات نشان داد که در هیچ یک از حالات سپر در خاک رس نرم  $w = 2.5 \text{ T/m}^2$ ,  $c = 2.5 \text{ T/m}^2$ , پایدار نبوده و لذا توصیه می‌شود که از بکارگیری آن صرف نظر شود.

### ۳-۲-۱- اسکله‌های سپری در خاک دانه‌ای

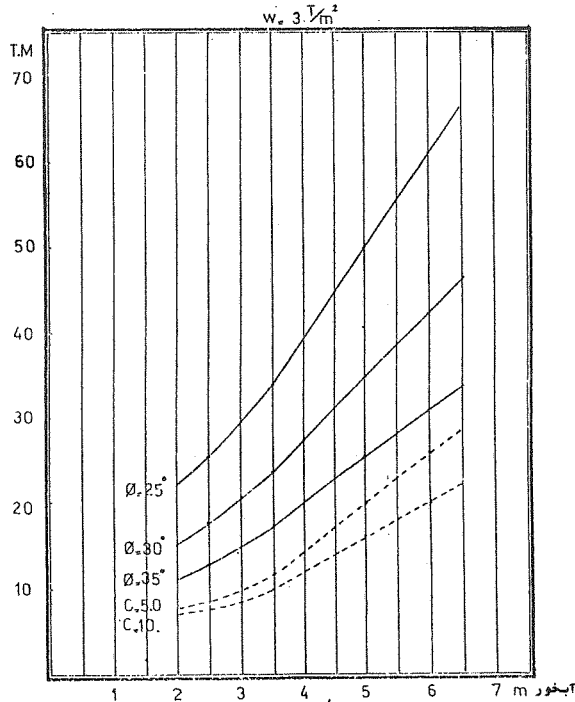
در تحلیل اسکله‌های سپرکوبی در خاک دانه‌ای از روش انتهای گیردار استفاده شده است. محل اتصال مهار به سپر مشابه خاک چسبنده در آبخورهای  $2/5$ ,  $3/5$ ,  $4/5$  و  $6$  متر به ترتیب  $1/5$ ,  $1/4$ ,  $2/5$  و  $3$  متر پایین تر از سطح عرضه در نظر گرفته شده است.

برای محاسبه  $K_a$  و  $K_p$  زاویه اصطکاک بین خاک و دیوار صفر در نظر گرفته شده است ( $\delta = 0$ ). این فرض در جهت اطمینان است، زیرا تغییر کوچک در  $\delta$  موجب افزایش

مشابه حالت خاک چسبنده، ضریب اطمینان به صورت اعمال ضریب  $1/4$  در طول مدفون سپر در نظر گرفته شده است. طول سپر در سه نوع خاک دانه‌ای و بارز نموده  $T/m^3$  و  $1/5 T/m^3$  محاسبه و به ترتیب در شکل‌های (۲) و (۳) نشان داده شده است. در حل سپرها از فرضیات زیر استفاده شده است:

$$\begin{aligned} \phi &= 25^\circ \rightarrow K_a = 0.406 \quad K_p = 0.46 \\ \phi &= 30^\circ \rightarrow K_a = 0.333 \quad K_p = 0.50 \\ \phi &= 35^\circ \rightarrow K_a = 0.271 \quad K_p = 0.69 \\ \phi' &= \phi' \rightarrow K_a = K'a, \quad K_p = K'p \\ \gamma_{wet} &= 1.8 T/m^3 \quad \gamma_{sat} = 2 T/m^3, \quad \gamma' = 1 T/m^3 \end{aligned}$$

حداکثر لنگر در سپرها و سطح مقطع میله مهار در شرایط مختلف و با فرض  $f_a = \frac{1}{2} \times 24000 = 12000 \text{ kg/cm}^2$  محاسبه و در شکل‌های ۵ تا ۸ نشان داده شده است:



شکل (۴) لنگر ماکریم سپر فولادی در خاکهای دانه‌ای و چسبنده  $3 T/m^3$  = بارز نموده

$$T = \left[ \frac{\gamma h_1^2 k_a}{2} + \gamma h_1 k_a h_2 + \gamma' h_2^2 k'_a/2 + (\gamma h_1 k_a + \gamma' h_2 k'_a) \left( \frac{2x-a}{2}, \frac{a}{2} \right) + w k_a (h_1 + h_2 + a) \right] - F$$

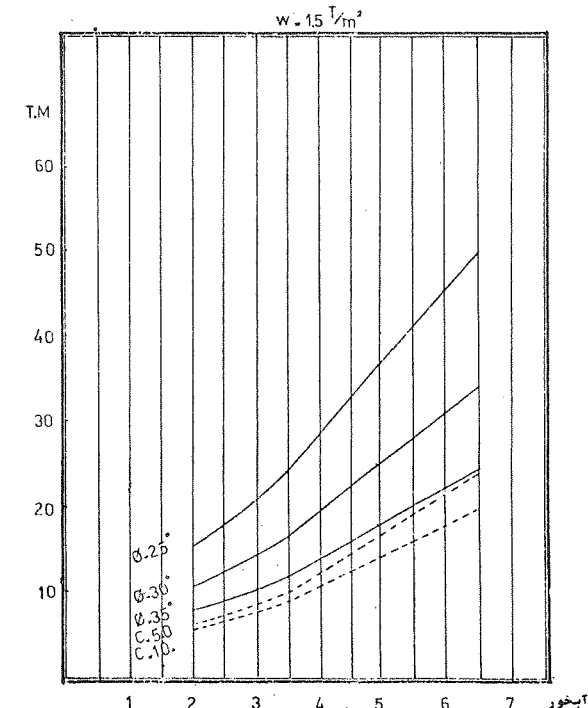
اگر نقطه گشتاور صفر را برابر نقطه تنش صفر منطبق بدانیم، حل تیر تحتانی ساده‌تر می‌شود، زیرا توزیع تنشها مثلثی خواهد شد. علاوه بر این نیروی مرکز  $C$  در پای سپر در این حالت مساوی  $2T$  می‌شود که از اینجا می‌توان عمق گیرداری را تعیین نمود.

$$Z = \frac{6T}{(z+x) k_p - 6.3 k_a - h_2 k_a - w k_a}$$

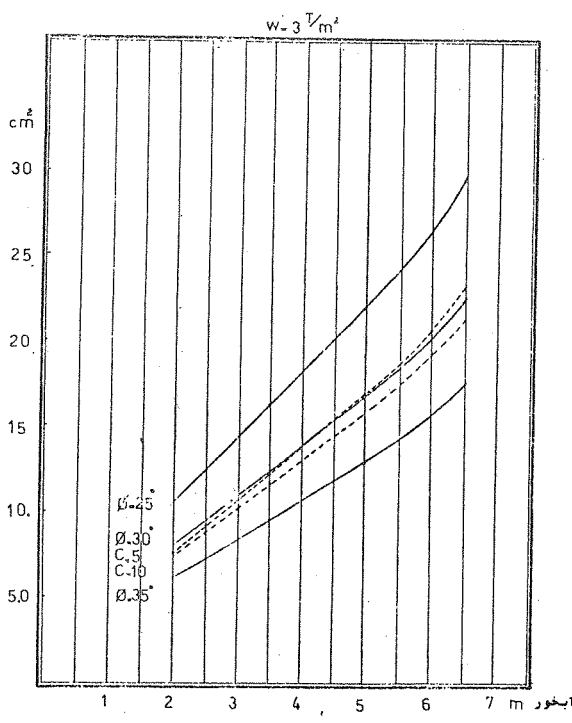
لنگر ماکریم در محل برش صفر در تیر فوقانی ایجاد می‌شود لذا ابتدا محل برش صفر و سپس لنگر خمی ایجاد شده در سپر محاسبه می‌شود.

$$\gamma h_1 k_a \cdot \frac{h_1}{2} + \gamma h_1 k_a \cdot V + \gamma' \cdot V \cdot k'_a \cdot \frac{V}{2} + w \cdot k_a \cdot (h_1 + v) = F$$

$$M = \frac{\gamma h_1^2 k_a}{2} (V + \frac{h_1}{3}) + \gamma h_1 k_a \cdot \frac{v^2}{2} + \frac{\gamma' V^3 k'_a}{6} - F \cdot V + \frac{w k_a V^2}{2}$$



شکل (۵) لنگر ماکریم سپر فولادی در خاکهای دانه‌ای و چسبنده  $1/5 T/m^3$  = بارز نموده



شکل (۶) سطح مقطع میل مهار لازم  
در هر متر طول دیوار سپر فولادی  $3 \text{ T/m}^2$  = بارز نده

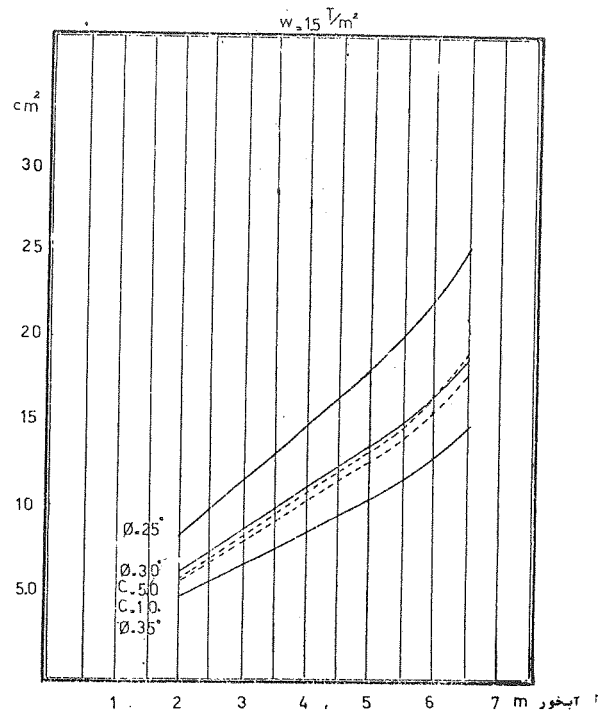
متر استفاده نمود که این مقدار، آبخور غالب اسکله ها در بنادر صیادی را شامل می شود. اختلاف بین متوسط جزر و متوسط مد  $2/5$  متر در نظر گرفته شده است. در سایر حالات که اختلاف جزر و مد بیشتر است، باز هم می توان از این منحنیها استفاده کرد، ولی به همان میزان از آبخور مفید اسکله کاسته می شود.

براساس نتایج بدست آمده از شکلهای فوق الذکر می توان گفت:

۱- سپر فولادی را نمی توان در خاکهای چسبنده نرم با  $C = 2/5 \text{ T/m}^2$  بکار برد، چون پایداری لازم را ندارد. کاربرد سپر فولادی در خاکهای چسبنده با  $C > 5 \text{ T/m}^2$  باید با احتیاط همراه باشد.

۲- در شرایط یکسان نوع خاک و میزان بار، طول لازم سپر با افزایش آبخور بصورت خطی افزایش می یابد.

۳- میزان کاهش طول سپر در اثر متراکم شدن خاک دانه ای



شکل (۷) سطح مقطع میل مهار لازم در هر متر طول  
دیوار سپر فولادی  $1/5 \text{ T/m}^2$  = بارز نده

#### ۴- جمع بندی و نتیجه گیری

نتایج حاصل از طراحی اسکله های سپر فولادی بصورت منحنی هائی در شکلهای شماره ۶ تا ۷ آمده است. با مشخص شدن آبخور مورد نیاز در اسکله، طول کلی سپر، لنگر خمی و مازکریم و سطح مقطع میل مهار لازم را در خاکهای دانه ای و چسبنده مختلف می توان از این منحنیها بدست آورد.

در استفاده از منحنیها باید به میزان بارز نده روی اسکله  $1/5$  یا  $3$  تن بر متر مربع (تووجه داشت. در صورتی که بارز نده دیگری مدنظر است می توان از درون یا بی خطي interpolation استفاده نمود.

محل اتصال میل مهار برای آبخور های  $2/5$ ،  $3/5$ ،  $5$  و  $6$  متر به ترتیب  $1/5$ ،  $2$ ،  $2/5$  و  $3$  متر از سطح عرشه در نظر گرفته شده است. از اصطکاک بین خاک و سپر فلزی در جهت اطمینان صرف نظر شده است.

از نتایج حاصله می توان برای اسکله ها با آبخور  $2/5$  تا  $6/5$

کاهش چسبندگی از ۱۰ به ۵ تن بر مترمربع سطح مقطع میل  
مهرار ۵ تا ۹ درصد افزایش پیدا می‌کند.

۱۰- در شرایط یکسان بارزنده، با کاهش هر ۵ درجه از  
مقدار  $\phi$ ، سطح مقطع میل مهار لازم ۳۵ تا ۲۵ درصد افزایش  
پیدا می‌کند.

۱۱- افزایش بارزنده از ۱/۵ به ۳ تن بر مترمربع سطح  
مقطع میل مهار لازم را در خاکهای دانه و چسبنده ۲۰ تا  
۳۰ درصد افزایش می‌دهد.

(افزایش  $\phi$ ) بیشتر از میزان کاهش طول سپر در اثر سفت تر  
شدن خاک چسبنده (افزایش C) است بعارت دیگر طول  
سپر نسبت به نوع خاک دانه‌ای حساس‌تر از نوع خاک  
چسبنده می‌باشد.

۱۲- در یک نوع خاک دانه‌ای ثابت با افزایش بارزنده از ۱/۵  
به ۳ تن بر مترمربع طول کلی سپر از ۱ تا ۵ درصد افزایش  
می‌یابد.

۱۳- در خاک چسبنده سفت طول سپر تقریباً مستقل از  
میزان بارزنده وارد است، ولی در خاک چسبنده متوسط با  
ازدیاد بارزنده از ۱/۵ به ۳ تن بر مترمربع طول کلی سپر ۵  
درصد افزایش می‌یابد.

۱۴- در شرایط یکسان بارزنده، هر ۵ درجه که به  $\phi$  خاک  
دانه‌ای افزوده می‌شود بین ۳۶ تا ۴۶ درصد از لنگر ماکریم  
سپر کاسته می‌شود.

۱۵- در شرایط یکسان بارزنده، اگر چسبندگی خاک از  
 $C = 5 \text{ T/m}^2$  به ۱۰ افزایش یابد لنگر ماکریم سپر از ۱۳ تا  
۲۸ درصد کاهش می‌یابد.

۱۶- در خاکهای دانه‌ای، افزایش بارزنده از ۱/۵ به ۳ تن بر  
مترمربع لنگر ماکریم را از ۳۴ تا ۴۳ درصد افزایش می‌دهد،  
ولی در خاکهای چسبنده افزایش لنگر در همین مورد از ۱۰ تا  
۲۰ درصد تجاوز نمی‌نماید.

۱۷- در شرایط بارزنده ثابت، نوع خاک چسبنده تاثیر  
زیادی روی سطح مقطع لازم برای میل مهار ندارد و در اثر

## منابع

- [1] Adibi, Harris, Consulting, Engineers "Iran Ports Master Plan" Ports and Shipping Organization Vol. 5.1975.
- [2] Winterkorn and Fang "Foundation Engineering Handbook" Von Nostrand Roinhold 1975.
- [3] Parkinson S. "Soil Dynamics" McGraw- Hill 1981.
- [4] Port and Harbour Research Institute Ministry of transport "Technical Standards for Port and Harbour facilities in Japan" Bureau of Ports and Harbours 1983.